

S A N D - W A V E S の形成過程について

東北大学 工学部 正員 坂本龍雄

東北大学 工学部 正員〇三王英寿

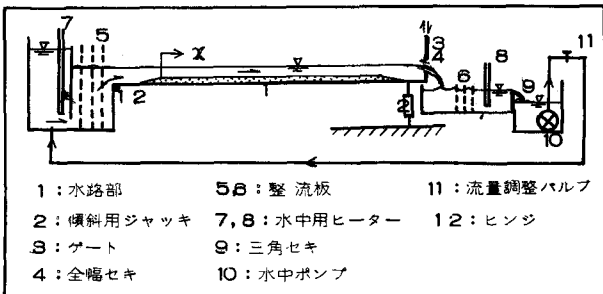
1. 序

河床変動や流砂、河川流抵抗則等について解明するための基礎的現象の一つとして sand-waves がとりあげられ、いろいろな観点に立つ研究がなされてきているが、野外における現象の複雑さと高精度の実験の困難さのため今なお不明の事項が多く、特に第一段階の形成機構に関しては未解決の点が残されているようである。実際上の目的に対しても与えられた条件のもとでいかなる形態および規模の sand-waves がみられるかを予測することが先ず解決されるべき問題であり、そのための中心的解析手法として流体力学的変動の安定理論の考え方に基づく各種方法が展開されて多くの成果がえられている。しかし野外観測によってえられた資料と照合してみると必ずしも十分な予測精度ではなく、幾何学的形状は類似していても大小様々なスケールの成分をもつ実在の現象についてそれぞれの形成機構を検討し、解析過程において例えば境界条件としてそれをとりいれることができ今後必要なのでないかと思われる。

このような考え方から、sand-waves の形成過程について実験的に確認してゆき、安定理論的手法の構成と妥当性に関する若干の検討をしようとするのが本文の主旨である。

2. 実験内容

長方形一様断面の直線水路における sand-waves 形成に関連する実験を行なった。実験に用いた水路は、(1) 断面 $30\text{ cm} \times 30\text{ cm}$ 、長さ 7.5 m 、片面ガラス張りの可傾水路(図-1)および(2)断面 $50\text{ cm} \times 50\text{ cm}$ 、長さ 14.5 m 、両側面ガラス張りの固定水路



である。微視的な現象を対象とする場合には水路(1)を用い、比較的大きなスケールの現象に対しては水路(2)を用いている。底質としては、 $0.1 \sim 15\text{ mm}$ の範囲の粒径をもつ砂を振動ふるい機によって上・下の粒径のものをカットして、実験目的に応じて適当な粒度とした材料を用いた。

水路(1)における実験：sand-waves の形成時の現象をできるだけ一般的の条件のもとで微細に観察する目的のため、底質には一様粒径に近い細砂を用い、流れは乱れ強度が比較的小さく、低フルード数の等流で、底質に対する限界掃流力をやや越えた範囲のものに限定した。初期河床形は、水路に沿ったレールを動く台車に固定した板を移動させることによって一様に均らし、図-1 に示すように上・下流側は水流の乱れを防ぐために滑らかにコウ配をつけた。通水開始時には、水路下流端のゲート3によって所定のコウ配と流量のもとで限界掃流力以下の流れになるように十分な水深をとっておき、徐々にゲートを開放することによって実験を始めている。上流側および下流側に設置した水中用ヒーター

(200 V ~ 15 KW, 10 KW) によって水温を 45 °C 以下の範囲で変えることができ、したがって水の粘性係数が可変である。移動境界面の変動は、スポット・ランプ (120 V ~ 300 W) の光をスリットを通して任意の位置に斜上方より照射し、レール上を水路に平行に移動できるカセット・メーター (χ 方向, ψ 方向ともに読取精度 0.01 mm) によって測定した。水流中の乱れは光電管式プロペラ型流速計の回転に対応するパルスを電磁オッショグラフに記録させ、パルス間隔の変動に基づいて推定する方法¹⁾によって求め、境界面付近の流速分布については直径 100 μ の白金線のプローブを用いた水素気泡法によって写真撮影を行なった。この際砂粒の移動状況が同時に写されている。実験条件と結果の例を表-1 に示す。

RUN	水温°C	$v^{\text{max}}/\text{sec}$	$Q \text{ l/sec}$	I	D cm	$V \text{ cm/sec}$	F _r	$U_k \text{ cm/sec}$	$x_0 \text{ cm}$	L cm	A _{st} mm ² /sec
1	14.2	0.0117	3.95	1/467	4.88	27.0	0.39	3.20			
2	16.2	0.0111	3.95	1/280	4.58	28.8	0.43	4.00	66	9.1~10.8	0.394
3	15.3	0.0114	3.95	1/350	4.6	28.6	0.43	3.6	83	7.5~9.3	
4	15.2	0.0114	3.95	1/350	4.71	28.0	0.41	3.63	96, 81	11.1~12.1	
5	16.8	0.0110	1.53	1/350	2.8	18.2	0.35	2.80	96		
6	31.7	0.0077	3.95	1/437	4.6	28.6	0.43	3.21	69	6.1~9.3	
7	40.6	0.0065	3.90	1/350	4.57	28.4	0.43	3.58	60	8.5~9.2	
8	41.5	0.0064	3.85	1/437	4.6	27.9	0.42	3.21	53		
	底質：平均粒径 $374\text{ }\mu$ 、標準偏差 $45.3\text{ }\mu$				乱れ強度： $\frac{U^2}{U}$ = 0.022 ~ 0.035			D:水深			
	比重 2.66				U_k :摩擦速度			l:バースト間隔			

表-1 実験(1)の結果

水路(2)における実験：比較的粗粒の底質を用い、高フルード数領域も含めて、可能なかぎり大きなスケールの sand-waves を生じさせた。実験条件と結果の例を表-2に示す。

RUN	粒径 mm	$\zeta \text{ sec}$	I	D cm	$V \text{ cm/sec}$	F	水面	形態	L cm	AD	
1	0.6~1.2	60.0	1/400	11.0	109.1	1.05	自由	平坦			
2	0.6~1.2	11.8	1/400	4.8	49.2	0.72	自由	三次元	16.5	1.83	
3	0.6~1.2	11.8	1/400	5.0	47.2		固定	二次元	52.5		
4	2.0~10.0	60.0	1/100	11.0	109.1	1.05	自由	三次元	70.0	0.99	
5	2.0~10.0	75.0	1/100	13.5	111.0	1.15	自由	三次元	Anti-Dune	75.0	1.13
6	2.0~10.0	49.0	1/200	10.0	98.0	0.99	自由	三次元	Dune	145.0	0.43
7	2.0~10.0	65.0	1/100	10.5	123.8	1.22	自由	三次元	Anti-Dune	55.0	1.20
8	2.0~10.0	34.5	1/200	8.3	83.1	0.92	自由	三次元	Dune	120.0	0.43
9	2.0~10.0	43.0	1/200	10.0	86.0		固定	二次元		110.0	
10	2.0~10.0	54.0	1/200	11.5	93.9		固定	三次元		150.0	

表-2 実験(2)の結果

この場合は一部に anti-dune もみられており、 and-waves と水面のかく乱との相互関係を知ることおよび形態の遷移に対する底質の粒度の影響について検討しようとしたものである。実験は自由水面を有する場合および、水路内に予備実験によって推定された水面に沿って剛なアクリル板を取りつけて自由水面をなくした場合について行なわれている。自由水面のある場合には水路横断面内に並列に抵抗式水位計を 10 cm 間隔に設置して、水面形の時間的変化をペン書きオッショグラフに記録させて、 摺動界面の水面

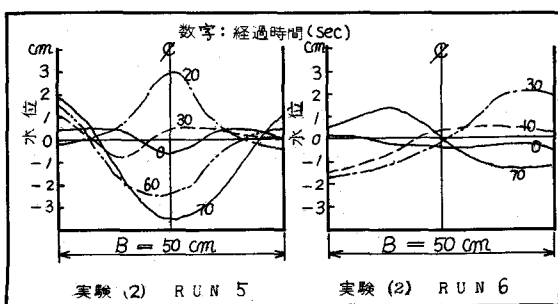


図-3 sand-waves 上の水面変動

3. 結果と考察

1) sand-wavesの発生について：初期河床が完全に平タンであり、水流による掃流力に空間的変動がなく一様であるものとすれば河床の移動境界は当然平タンのままに維持されることから、sand-wavesが形成されるためには河床付近または流れの中に何らかの局所的かく乱が必要である。安定理論的解析法においては、このような初期かく乱として任意のスケールの正弦波的変動が想定され、与えられた一定の水理条件下における変動成分の増幅率を求ることによって出現する波の特性規模が予測されるのであるが、ここでは先ずこのような初期かく乱について実測資料に基づいて考察してみたい。

実験(1)においては、限界掃流力を越えて底質が移動を始めても長時間にわたって sand-waves の形成をみない領域があった。これは H. K. Liu²⁾によって $\frac{U_* D}{\nu}$ と $\frac{U_*}{W}$ との関係 (w : 粒子の沈降速度) で示された領域に近いが、ここではこのような状態にある水路の一点に強制かく乱を与えるとその場所を起点として下流側につきつぎとする範囲のクレスト間隔をもつ sand-waves が形成される場合がみられた。写真-1は約 5 mm の径の砂粒を置いた場合のものである。砂粒の背後に生ずる後流に伴なう三次元的乱れによって付近の移動床がかく乱されるが、やがて二次元に近い形状のクレストが生じて更に下流側に sand-waves を誘起し、写真にみられるように下流の波のクレスト幅が漸次増幅されて終局的には水路全幅をしめるようになる。

次に、掃流力をやや増大させると最初のクレストが自然発生する領域に入る。この場合も下流側の sand-waves の形成過程は前例と非常に類似している。このような第一波の発生位置の移動床始点からの距離を X_0 として $\frac{U_* D}{\nu}$ との関係を示したのが図-3であるが、Reynolds number の増大に伴なって発生位置が上流に移る傾向がみられる。

ここで平板に沿う流れの境界層内に生ずる乱れに対して微小変動の線型安定理論を応用した Tollmien-Schlichting の解析について考える。その方法は(1)式で表わされる変

$$\psi = \phi(y) \exp i k(x - ct) \quad \dots \dots (1)$$

$$C = C_r + i C_i \quad \dots \dots (2)$$

動流関数と(2)式のよなかく乱波の複素速度を考え、変動項について線型化された Navier-Stokes の方程式と連続方程式より(3)式の関係を誘導し、(4)式に示される

境界条件によって c に関する固有値問題として扱かたものである。

$$(\bar{U} - C) \{ \phi'' - k^2 \phi \} - \bar{U}'' = \frac{1}{i k R} (\phi'' - 2k^2 \phi'' + k^4 \phi) \quad \dots \dots (3)$$

ここに $R = \frac{U_{\infty} \delta}{\nu}$ ， \bar{U} ： y にのみ依存すると考えた基本流速， U_{∞} ：境界層外縁の流速， δ ：境界層の排除厚，式中の prime は y に関する微分を示す。

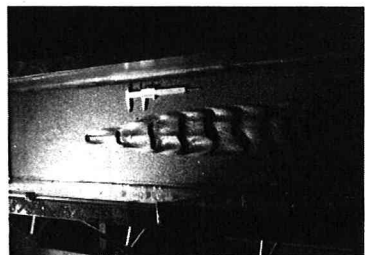


写真-1

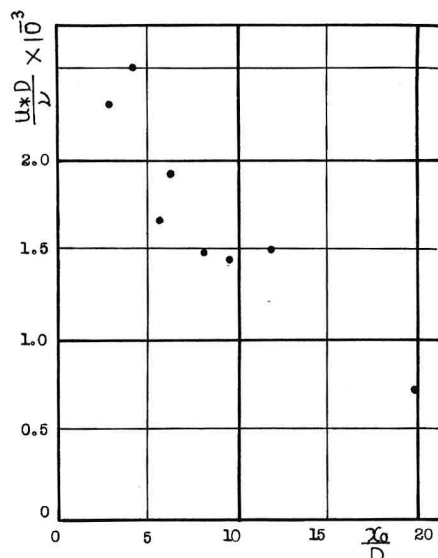


図-3

$$\left. \begin{array}{l} \phi = 0, \phi' = 0 : y = 0 \\ \phi = 0, \phi' = 0 : y = \infty \end{array} \right\} \quad \text{---(4)} \quad \bar{U}(y) = 0.574y - 0.0210y^4 + 0.947 \times 10^{-4}y^7 \quad \text{---(5)}$$

基本流速としては (5)式で示される Blasiusによる境界層内の速度分布型を用いて、結局、安定に対する中立曲線の critical Reynolds numberとして $R = \frac{(U_{\infty}\delta)}{\nu} C = 420$ がえられている。またこのような波に対する実験結果として、板の先端からの距離 X を用いて表わした critical Reynolds number $(\frac{U_{\infty}X}{\nu})_C$ が $3.5 \sim 5 \times 10^5$ の範囲にある例がえられている。上の両者について実験 (1)の結果を整理すると次のようである。

$$\frac{U_{\infty}\delta(X_0)}{\nu} = 405 \sim 640 \quad \frac{U_{\infty}X_0}{\nu} = 0.56 \sim 1.37 \times 10^5$$

Tollmien - Schlichtingの波の臨界点に対して影響する要素としては、①水流中の乱れの強度 ②境界面粗度の特性 ③境界付近の流速分布型などが考慮されなければならないが、上記の事項を総合して考えるとこの場合の河床のかく乱の発生は境界付近のセン断流中に発達する乱れに起因するといえるであろう。従ってこのような現象に対しては水の粘性の影響も大きいことになる。

2) sand - wavesに対する安定理論について： 1) における検討によって sand - waves が形成されるためには発芽のかく乱の存在が必要であり、そのかく乱の形態は形成される波の形態に対してあまり影響しないが、その強さあるいは振幅は有限であることの必要性がえられた。次に解明されなければならないのは、引き金の役割を演ずる発芽のかく乱が生じた後に下流側につきつぎと壊われる波の形成過程、特にその増幅機構である。sand - wavesの系の発達過程においては、一般にクレスト間隔が変化し、波高も漸次増大して水面のかく乱を誘起して顕著な相互作用を呈したり、あるいはクレスト後流域に生ずる渦動によって初期の二次元形態が不規則に変形したりするが、この段階に対しては他の観点からの解析法が要請されるであろう。ここでは引き金のかく乱によって下流側にあらたな波が形成される過渡的段階において安定理論的手法が有効であると考えて、水面波形の影響が微小であっても移動境界面付近の現象によって不安定の起こりうる可能性について検討する。

主流方向に X 軸、鉛直方向に y 軸をとり、それそれを代表的長さで割って無次元化した座標とする。 X, y 方向の流速をそれぞれ U, V とし、 y 方向のみに速度分布をもつ基本流 \bar{U} と変動流関数 ψ を用いて次式のように表わされるものとする。

$$U = \bar{U}(y) - \frac{\partial \psi}{\partial y} \quad \text{---(6)} \quad V = -\frac{\partial \psi}{\partial X} \quad \text{---(7)}$$

流関数 ψ は、微小な振幅をもつ境界面付近の水流の変化を示すものであり、境界面のかく乱に伴って速度 C_r で移動し、振幅関数 f を用いて (8)のよくな正弦波成分で表わされるものとする。 C は (9)式に示される複素速度を考える。次に ψ を用いて渦度を表わすと (10)式となり、

$$\psi = f(y) \exp\{ik(x - Ct)\} \quad \text{---(8)} \quad C = C_r + iC_i \quad \text{---(9)}$$

これを渦度輸送方程式 (11) に代入し、変動項に関して線型化を行なって整理すると (12)式がえられる。

$$\zeta = \frac{1}{2} \left(-\frac{\partial \bar{U}}{\partial y} + \nabla^2 \psi \right) \quad \text{---(10)} \quad \frac{D\zeta}{Dt} = \nu \nabla^2 \psi \quad \text{---(11)}$$

$$\frac{\partial}{\partial t} (\nabla^2 \psi) + \bar{U} \frac{\partial}{\partial X} (\nabla^2 \psi) - \bar{U}'' \psi = \nu \nabla^4 \psi \quad \text{---(12)}$$

更に (12) に (8)式を代入して整理すると ψ に関する微分方程式 (13)が求まる。

$$(\bar{U} - C) \{ f'' - k^2 f \} - \bar{U}'' f = \frac{1}{\sqrt{k}} \{ f^{IV} - 2k^2 f'' + k^4 f \} \quad \dots \dots \dots (13)$$

式中の prime は y に関する微分を示す

(9)式中の C は水流におけるかく乱の増幅率を示す量であるが、移動境界面の形状が次式のように

$$h(x, t) = h_0 \exp \{ ik(x - ct) \} \quad \dots \dots \dots (14)$$

与えられるものとすれば、そのまま境界面の不安定、すなわち sand-waves の増幅率を示す量になる。

ここで流砂の面から条件を考察する。先ず流砂量に関する連続方程式 (15) を考え、掃流砂量式とし

$$\frac{\partial h}{\partial t} + \frac{\partial g_b}{\partial x} = 0 \quad \dots \dots \dots (15) \quad g_b: \text{単位幅当たりの流砂量 (容積レート)}$$

て例えば Meyer-Müller の式 (16) が微小なスケールの変動に対しても十分に敏感であるものとすれ

$$g_b = \theta (\theta - 0.047)^{\frac{3}{2}} \left\{ \left(\frac{\theta}{\varphi} - 1 \right) g d^3 \right\}^{\frac{1}{2}} \quad \dots \dots \dots (16)$$

$$\theta = \frac{u_*^2}{\left(\frac{\theta}{\varphi} - 1 \right) g d} = \frac{\nu}{\left(\frac{\theta}{\varphi} - 1 \right) g d} \left(\frac{\partial u}{\partial y} + \frac{\partial v}{\partial x} \right) \quad \dots \dots \dots (17)$$

ば、(6) ~ (8) および (14) ~ (17) の関係から C について (18) 式が求まる。したがって、上の推論

において、かく乱の増幅率は最終的に (18) 式の虚数部によって求められるのであるが、不安定領域の

$$C = 12 \nu d \left\{ \left(\frac{\theta}{\varphi} - 1 \right) g d \right\}^{-\frac{1}{2}} (\theta_0 - 0.047)^{\frac{1}{2}} (f'' + k^2 f) \quad \dots \dots \dots (18)$$

u_* : 基本流による無次元掃流力

存在は適当な境界条件によって定まる (13) 式の f の性格による。

水素気ホウ法による境界面付近の流速分布の例を写真 2, 3 に示

した。写真-2 は掃流力が小さく底質が移動していない場合、

写真-3 は限界掃流力をこえ sand-waves が形成される直前の場

合のものである。写真-3 では境界面にみかけ上のすべり速度

があるようにみえるが、これは砂粒径のオーダーの厚さをもつ移

動層が存在するためであると考えられる。従って上記の計算に

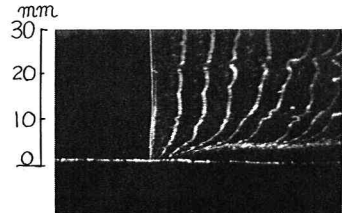
あたっては、図-4 に示された $y=0$ の位置において $\dot{y} = \dot{f} = 0$

なる境界条件を与えることが考えられる。また非粘性の項のみ

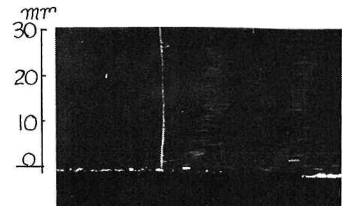
場合の不安定を生ずる要因となる基本流の流速分布 $\bar{U}(y)$ として

同図中に示したような傾向がみられるとすれば不安定性の増すこ

とが予測される。



写 真 - 2



写 真 - 3

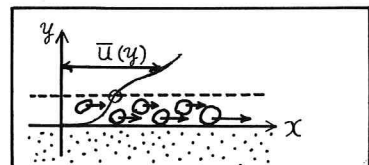


図-4

$$g_s = Q(\theta_0) \exp \{ ik(x - ct) \} \quad \dots \dots \dots (19)$$

うに掃流力を助変数とした関数で表わされるものとすれば、安定

問題に關係する流砂の連続方程式として (20) 式が考えられる。このことを考慮すると、(18) 式の

$$\frac{\partial h}{\partial t} + \frac{\partial g_b}{\partial x} = - g_s \quad \dots \dots \dots (20)$$

右辺に $\left[\frac{Q(0)}{\rho_0} \right]_c$ の項が加わり、変動の安定化の傾向を強める。これは、表-2 の run 1 と run 4 との比較にみられるような、遷移点に対する底質特性の影響を表現しようとするものである。

3) 水面波形の影響について：2)においては主として移動境界付近の微視的な変動現象を対象としたが、現実にはポテンシャル流の理論で表現されるようなマクロな現象のはうがむしろ卓越すると思われる。これに対する検討を行なったものの一つが実験

(2)の水面の影響に関する部分である。今回の実験結果からは、水路幅のオーダーの波長をもつ sand-waves は水面波形との相互作用が著しく、特にこのようなスケールの三次元波形の形成過程において無視できないものとなることが確認された。野外における交互砂れき堆などに対しては、河川の状況によって大スケールの外乱をも包含する理論が立てられるべきではないかと思われる。

4. あとがき

各種条件を考慮した計算結果と実測値とを比較できる段階にはまだ至っていないが、一応次のような事項が指摘される。

1) 等流状の流れのもとでの sand-waves の形成には移動境界近傍における不安定現象が成因となる。これに対しては境界層内に発達する乱れが、引き金的かく乱として、作用する場合がある。

2) 引き金的かく乱は三次元のものであっても、二次元のクレストをもつ sand-waves の系が形成される場合がある。

3) 移動境界近傍の現象が sand-waves の成因となる場合に対しては、セン断流を考えた安定理論による解析法が適用できる可能性がある。この場合には、移動境界固有の流速分布を解析にとり入れる必要がある。

4) 実際上の sand-waves の形成領域に底質特性（粒度）が影響する事実がみられるが、これに対しては移動機構を考慮した予測方法が要請される。

5) マクロ・スケールの sand-waves の形成においては明らかに水面波形との相互作用が卓越しており、特に交互砂れき堆などの予測にはこれを考慮する必要がある。従ってこの場合は、ポテンシャル流理論の妥当性がいえるであろう。

謝辞：最後に、多くの有益な御教示を賜わった東北大大学 岩崎敏夫教授に厚く御礼申し上げる。また、実験・野外観測は本研究室の技官・研修学生の方々の熱心な協力によるものであること、および本研究は昭和46年度文部省科学研究費（代表：岩崎敏夫教授）の援助をうけたことを付記する。

参考文献 1) 余越正一郎：びわ湖疊水における舌しづの観測，京大防災研年報 9号

- 2) 応用水理学 中-1
- 3) SCHLICHTING : Boundary Layer Theory
- 4) LIN : The Theory of Hydrodynamic Stability



写真-4